

0.4; 07

© 1990

## ВОССТАНОВЛЕНИЕ ОБЪЕМНОГО ГОРЕНИЯ РАЗРЯДА В ИМПУЛЬСНО-ПЕРИОДИЧЕСКОМ СО<sub>2</sub>-ЛАЗЕРЕ

И.И. Б е л я к о в, П.И. Б о г д а н о в,  
Г.А. М е с я ц, В.В. О с и п о в,  
В.А. Т е л ь н о в

Импульсно-периодические СО<sub>2</sub>-лазеры атмосферного давления, в которых отсутствует обновление рабочей среды в газодинамическом тракте, находят все более широкое применение вследствие их компактности и высоких энергетических характеристик.

Основным недостатком таких приборов является сравнительно небольшой срок службы ( $\sim 10^6$  включений) вследствие изменения химического состава газовой среды и контракции объемного разряда [1]. Такая ситуация наблюдается как при максимально-достижнутых энерговкладах (0.2 Дж/см<sup>3</sup>), так и при сравнительно низких (0.04–0.06 Дж/см<sup>3</sup>) уровнях энергии, вводимой в газ [2, 3]. Поэтому проблема повышения ресурса работы таких устройств в значительной мере сводится к поиску методов обеспечения объемного горения разряда. Один из перспективных подходов к повышению устойчивости объемного разряда связан с использованием электродов из  $La_{0.7}Sr_{0.3}CoO_3$  [4], обладающих также способностью восстанавливать CO<sub>2</sub> [5].

В настоящей работе показывается возможность существенного повышения энергетических и ресурсных характеристик импульсно-периодических СО<sub>2</sub>-лазеров с квазистабильной средой при использовании электродов из перовскита  $La_{0.7}Sr_{0.3}CoO_3$ .

Для проведения исследований использовалась установка, конструкция и схема возбуждения которой детально изложены в [6]. Межэлектродный промежуток 4.2 x 5 x 25 см располагался в кювете объемом 3.5 л, заполненном смесью газов CO<sub>2</sub> : N<sub>2</sub> : He = 1 : 1 : 3 атмосферного давления. Электроды изготавливались в одном случае из нержавеющей стали 12x18H10T, в другом – анод из нержавеющей стали, а катод из перовскита  $La_{0.7}Sr_{0.3}CoO_3$ . При возбуждении объемного разряда в межэлектродном промежутке рассеивалась энергия 1.575 Дж. Средняя мощность излучения регистрировалась калориметром ИМО-2Н, изменение химического состава и газовой среды – масс-спектрометром МИ-1201В, а время формирования канала ( $\tau$ ) и вероятность контракции объемного разряда ( $\omega$ ) – осциллографом С8-14.

На рис. 1 приведены зависимости концентрации  $\frac{[CO_2]}{[CO_2]_0}$  и мощности излучения  $\frac{P}{P_0}$  в относительных единицах от числа включе-

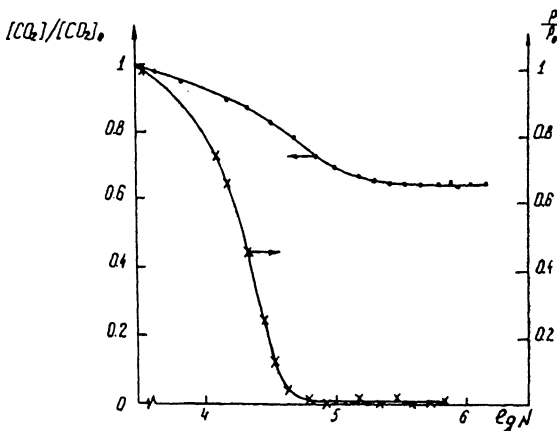


Рис. 1. Изменения относительной концентрации  $\frac{[CO_2]}{[CO_2]_0}$  (1) и средней мощности излучения  $\frac{P}{P_0}$  (2) от числа включений для металлических электродов.

ний  $n$  при использовании стальных электродов. На рис. 2 аналогичные зависимости при использовании катода из перовскита. В обоих случаях при  $n \leq 4 \cdot 10^4$  (точка А на кривых 1 и 2 соответствует  $n = 10^4$  включений) в межэлектродном промежутке зажигался объемный разряд с вероятностью контракции  $\omega = 0.03$ . Концентрация CO и O<sub>2</sub> в этот момент составляли 3 и 1.5% соответственно. При этом минимальное время формирования канала  $T \sim 5$  мкс. На участке А-В концентрация молекул CO<sub>2</sub> уменьшилась до 82% от первоначальной, а концентрации молекул CO и O<sub>2</sub> и время  $T$  достигали 3.5%, 1.8% и 200–300 нс соответственно. На участке В-С вероятность  $\omega = 1$ ,  $T$  уменьшилось до  $\sim 100$  нс.

При использовании катода из перовскита (рис. 2) максимальное разложение  $\frac{[CO_2]}{[CO_2]_0} = 67\%$  наблюдалось после  $n = 1.5 \cdot 10^5$  включений (точка С), где  $T$  сокращалось до 10 нс и практически вся энергия, запасенная в накопительных конденсаторах, вводилась в искровой канал. Начиная с этого момента, в кювете отмечалось нарастание концентрации молекул NO до  $[NO] = 0.03\%$  при воздействии на газовую среду  $\sim 10^3$  импульсов. Резкое нарастание  $[NO]$  сопровождалось уменьшением вероятности контракции до  $\omega = 0$  (т.е. восстановлением объемного разряда) и восстановлением мощности излучения лазера до  $\frac{P}{P_0} = 0.7$ . После восстановления объ-

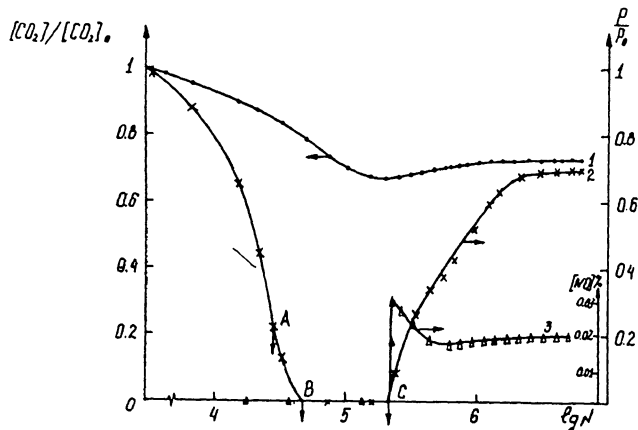


Рис. 2. Изменения относительной концентрации  $\frac{[CO_2]}{[CO_2]_0}$  (1), средней мощности излучения  $\frac{P}{P_0}$  (2) и концентрации  $[NO]$  (3) от числа включений для катода из перовскита.

емного протекания тока в промежутке разряд оставался стабильным, а концентрация молекул  $CO_2$  возрастила до стационарного значе-

ния  $\frac{[CO_2]}{[CO_2]_0} = 73\%$ . Эксперимент был прекращен после  $n = 7 \cdot 10^6$

включений, т.к. какого-либо изменения энергии излучения и соста-ва газовой среды не наблюдалось.

Как видно из рис. 1, подобного процесса прекращения контракции импульсных объемных разрядов при использовании стальных электродов не происходит.

В заключение подчеркнем, что использование катода из  $La_{0.7}Sr_{0.3}CoO_3$  в импульсно-периодическом  $CO_2$ -лазере с квазистабильной средой после традиционной контракции объемного разряда спустя  $10^5$  включений позволяет восстановить объемное про-текание тока в равновесной среде с высоким уровнем поглощаемой энергии и как следствие существенно повысить энергетику и ре-урс работы таких устройств.

#### Список литературы

- [1] Starc D.S., Cross P.H., Foster H. // IEEE J. QUANT. ELECTR. 1975. QE-11. N 9. P. 774-778.

- [2] Marchetti R., Ренсо Е., Salvetti M. // IEEE J. QUANT. ELECTR. 1985. QE-21. N 11. P. 1766-1774.
- [3] Pace P.W., Lacombe M. // IEEE J. QUANT. ELECTR. 1978. QE-14. N 4. P. 263-274.
- [4] Месяц Г.А., Осипов В.В., Петров А.Н., Тельнов В.А., Фролов В.Н., Хамидулин Г.М. // ЖТФ. 1990. Т. 60. № 4.
- [5] Гаврилова Л.Я., Липатов Н.И., Пашинин П.П. и др. // Письма в ЖТФ. 1988. Т. 14. В. 6. С. 557-560.
- [6] Осипов В.В., Тельнов В.А., Хамидулин Г.М. // ПТЭ. 1988. № 1. С. 181-182.

Институт электрофизики  
АН СССР,  
Уральское отделение, Свердловск

Поступило в Редакцию  
25 мая 1990 г.

Письма в ЖТФ, том 16, вып. 16

26 августа 1990 г.

01; 04

© 1990

## О ВОЗМОЖНОСТИ ПОВЫШЕНИЯ ЭФФЕКТИВНОСТИ НАГРЕВА ПЛАЗМЫ ПУЧКОМ ЭЛЕКТРОНОВ

С.И. Попель, В.Н. Цытович

Радиационно-резонансные взаимодействия (PPB) [1, 2] волн и частиц в плазме существенным образом влияют на динамику надтепловых электронов плазмы (см. [2-4]). В случае пучковой неустойчивости PPB приводят для пучков достаточно низкой плотности к совершенно иному механизму ее развития, чем тот, который был предложен в [5] без учета PPB. Ниже будет показано, что это обстоятельство позволяет при определенных условиях повысить эффективность нагрева плазмы пучком электронов.

Пусть в плазме с концентрацией  $n$  в момент времени  $t=0$  имеется одномерный пучок электронов с концентрацией  $n_b$  ( $n_b \ll n$ ), характерной скоростью  $v_b$  и разбросом по скоростям  $\Delta v$  ( $\Delta v \ll v_b$ ). Предполагается, что  $v_b \gg v_{Te}$  ( $v_{Te}$  – тепловая скорость электронов), и выполнено условие применимости кинетического описания:  $\Delta v/v_b \gg (n_b/n)^{1/3}$ . Динамику пучка описывает система уравнений (см. [1-2]), описывающая квазилинейные эффекты, а также эффекты, вызванные PPB, и состоящая из уравнений, определяющих динамику функции распределения электронов и энергетического спектра ленгмюровских волн, возбуждаемых вследствие пучковой неустойчивости. В предположении, что ленгмюровские волны возбуждаются в направлении распространения пучка, система уравнений, по-